

# Algoritmos Matriciais em Processamento de Alto Desempenho

Nicolas Maillard

`nmaillard@inf.ufrgs.br`

Instituto de Informática  
Universidade Federal do Rio Grande do Sul

Escola Regional de Alto Desempenho, 2005

# Processamento de alto desempenho

- “Processamento” = cálculo,
  - A noção de cálculo tem a ver com o número de instruções executadas, *i.e.* com o **tempo** de execução.
- Cálculo se faz com dados.
  - A noção de dados implica no espaço na **memória**.
- “Desempenho” diz respeito a **eficiência**. É preciso de PAD para aplicações pesadas, em geral paralelas.
  - Frequentemente se deve também ser eficiente em nível de **rede**.

# Os níveis de atuação para a obtenção de Processamento de Alto Desempenho

O programador deve considerar pelo menos os pontos abaixo:

- otimização do hardware (processador/rede); **de Rose/Pilla — ERAD'05**
- adaptação do sistema operacional; **Rômulo de Oliveira/Carissimi — ERAD'02**
- uso de middlewares específicos (*e.g.* compiladores apropriados, bibliotecas para a programação paralela. . . ); **Gerson Cavalheiro — ERAD'04**
- programação otimizada (*e.g.* uso de tipos de dados vetoriais);
- algoritmos com eficiência comprovada.
- programação otimizada (*e.g.* uso de tipos de dados vetoriais);
- algoritmos com eficiência comprovada.

# Objetivos do Mini-curso

Vão ser apresentados:

- alguns algoritmos eficientes para o cálculo científico, mais especificamente o **cálculo matricial**;
- seu refinamento desde a versão mais simples até a versão mais complexa, com melhor desempenho;
- exemplos de **implementações** em bibliotecas padrão da área.
- exemplos de **aplicações** em quais se usam essas bibliotecas.

⇒ justificar a importância de conhecer este tipo de algoritmos para a obtenção de PAD.

# Plano da apresentação

# Plano da apresentação

# Plano da seção

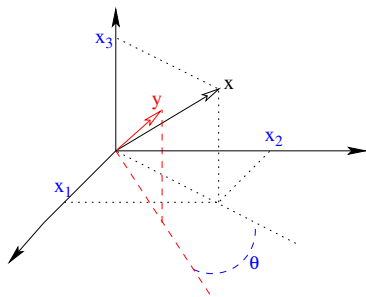
# Vetor e matriz

- $A$  é uma **matriz**  
 $N \times N$ ;  
 $x$  é um **vetor** de  
tamanho  $N$ .

$$A = \begin{pmatrix} a_{11} & a_{12} & \dots & \dots & a_{1N} \\ a_{21} & a_{22} & \dots & \dots & a_{2N} \\ & & \vdots & & \\ & & & a_{ij} & \\ a_{N1} & \dots & a_{Nj} & \dots & a_{NN} \end{pmatrix} x = \begin{pmatrix} x_1 \\ x_2 \\ \vdots \\ x_N \end{pmatrix}$$

- Vetores = pontos em um espaço a  $N$  dimensões; eles podem ser **somados** entre si, **multiplicados** por uma constante **escalar**, etc. . .
- Uma matriz representa a ação de um operador **linear** sobre um vetor (rotação, translação). O vetor resultante é o produto  $Ax$ .





Exemplo em  $N = 3$   
dimensões. O operador é  
uma rotação de ângulo  $\theta$ , o  
eixo é  $(Ox_3)$ .  
Obtém-se

$$\begin{pmatrix} y_1 \\ y_2 \\ y_3 \end{pmatrix} = \begin{pmatrix} \cos \theta & \sin \theta & 0 \\ -\sin \theta & \cos \theta & 0 \\ 0 & 0 & 1 \end{pmatrix} \begin{pmatrix} x_1 \\ x_2 \\ x_3 \end{pmatrix} = \begin{pmatrix} x_1 \cos \theta + x_2 \sin \theta \\ -x_1 \sin \theta + x_2 \cos \theta \\ x_3 \end{pmatrix}.$$

# Produto de matrizes

- Composição de operadores *Longleftarrow* produto entre as matrizes;
- o produto de matrizes é fundamental pois aparece em quase todos os outros cálculos matriciais;
- a fórmula que dá o produto  $C$  da matriz  $A$  pela matriz  $B$  (ambas de tamanho  $N \times N$  é

## Fórmula do produto matricial

$$c_{ij} = \sum_{k=1}^N a_{ik} b_{kj}, \quad i, j = 1 \dots N.$$

# Importância do produto matricial

Nessa parte vai ser estudada a implementação eficiente do produto matricial. Seu uso é fundamental:

- ele aparece em **muitos outros algoritmos matriciais**, uma vez que ele é a modelagem matemática da aplicação de uma função linear;
- sua implementação eficiente permite a obtenção de **ótimo desempenho** em um processador;
- ótimo exemplo **pedagógico**, simples, do ganho que pode se obter.

## Produto Matricial, algoritmo $i j k$ trivial.

- 1: Entradas: 2 matrizes  $A$  e  $B$  de tamanho  $N \times N$ .
- 2: Saída: 1 matriz  $C$  de tamanho  $N \times N$ .
- 3:
- 4:  $c_{ij} \leftarrow 0$
- 5: **for**  $i = 1, 2, \dots, N$  **do**
- 6:     **for**  $j = 1, 2, \dots, N$  **do**
- 7:          $c_{ij} \leftarrow 0$
- 8:         **for**  $k = 1, 2, \dots, N$  **do**
- 9:              $c_{ij} \leftarrow c_{ij} + a_{ik} b_{kj}$
- 10:         **end for**
- 11:     **end for**
- 12: **end for**

# Plano da seção

# Dois tipos de memória

Para este estudo, dois níveis de memória serão distinguidos:

- a memória **lenta**, de capacidade grande;
- a memória **rápida**, de acesso muito mais rápido, mas que pode armazenar num dado momento apenas  $C$  elementos de matriz;
- um acesso a um dado  $d$  na memória lenta, que não está armazenado na memória rápida (**miss**), provoca a atualização da mesma com:
  - o elemento  $d$ ,
  - os  $\delta$  elementos próximos de  $d$  na memória lenta (mecanismo de paginação).

Essas hipóteses modelam uma hierarquia básica de memória (Cache), bem como os acessos numa memória distribuída através da rede.

# Implementação das matrizes

Supõe-se que as matrizes são armazenadas na memória por coluna (*column-major*). É a norma Fortran, contrária à norma C.

$$\begin{pmatrix} a_{11} & a_{12} & \dots & a_{1j} & \dots & a_{1N} \\ a_{21} & a_{22} & \dots & a_{2j} & \dots & a_{2N} \\ a_{31} & a_{32} & \dots & a_{3j} & \dots & a_{3N} \\ \dots & \dots & \dots & \dots & \dots & \dots \\ a_{N1} & a_{N2} & \dots & a_{Nj} & \dots & a_{NN} \end{pmatrix}$$

$$\begin{pmatrix} a_{11} \\ a_{21} \\ a_{31} \\ \dots \\ a_{N1} \end{pmatrix}$$



(Segundo a sintaxe de C, o endereço de  $a_{ij}$  é  $\&(a_{00}) + j * N + i$ .)

# Acessos na memória do algoritmo $i_jk$

```
1: for  $i = 1, 2, \dots, N$  do
2:   for  $j = 1, 2, \dots, N$  do
3:      $c_{ij} \leftarrow 0$ 
4:     for  $k = 1, 2, \dots, N$ 
       do
5:        $c_{ij} += a_{ik}b_{kj}$ 
6:     end for
7:   end for
8: end for
```

- Seja  $i, j$  fixados. Cada iteração de  $k$  provoca 1 miss de  $b_{kj}$  + 1 miss de  $c_{ij}$ ;
- (Não se levam em conta aqui as primeiras iterações);
- Quando  $j$  é incrementado,  $k$  passa de  $N$  a 1, e recomeça.
- Afinal, são  $2N^3 + \mathcal{O}(N^2)$  misses.
- Obs.: pode-se poupar o miss de  $c_{ij}$  com um *buffer*.



# Plano da seção

# Ordens dos laços ijk

- Na verdade, pode-se executar os 3 laços em qualquer ordem.
- Basta cuidar na hora de inicializar  $c_{ij}$ . Pode ser feito uma vez por todas no início.
- A ordem  $ijk$  é a mais **natural**, devido à fórmula matemática. . .
- . . . mas não é a mais eficiente!
- Os índices de **linhas** devem variar mais rapidamente:  $i$  e  $k$ .
- Logo, as ordens  $ikj$  e  $kij$  são naturalmente **menos eficientes**.

# Três variações

Sobram então as ordens  $jik$ ,  $jki$  e  $kji$

## Ordem $jik$

```
for  $j = 1, \dots, N$  do
  for  $i = 1, \dots, N$  do
    for  $k = 1, \dots, N$  do
       $c_{ij} += a_{ik} b_{kj}$ 
    end for
  end for
end for
```

## Ordem $jki$

```
for  $j = 1, \dots, N$  do
  for  $k = 1, \dots, N$  do
    for  $i = 1, \dots, N$  do
       $c_{ij} += a_{ik} b_{kj}$ 
    end for
  end for
end for
```

## Ordem $kji$

```
for  $k = 1, \dots, N$  do
  for  $j = 1, \dots, N$  do
    for  $i = 1, \dots, N$  do
       $c_{ij} += a_{ik} b_{kj}$ 
    end for
  end for
end for
```

# Os misses em cada versão

- **A ordem jik** é parecida à ordem ijk.
  - Poupa-se apenas 1 *miss* a cada iteração de  $i$ ;
  - isso leva a  $N^3(1 + \frac{3}{\delta}) + \mathcal{O}(N^2)$  *misses*.
- **A ordem jki** é bem melhor. Após 1 iteração de  $i$ , durante as  $\delta - 1$  seguintes se encontram todos os coeficientes necessários.
  - Assim, tem 2 *misses* a cada  $\delta$  iterações em  $i$ , ou seja  $\frac{2N}{\delta}$  para um dado valor de  $j, k$ .
  - No total se obtém  $\frac{2N^3}{\delta} + \mathcal{O}(N^2)$  *misses*.
- **A ordem kji** é quase igual à ordem jki, mas provoca alguns *misses* a mais: uma iteração de  $j$  provoca automaticamente um *miss* no coeficiente  $b_{kj}$ .

Algoritmo	Número de <i>Misses</i>
<b>ijk</b>	$N^3(2 + \frac{3}{\delta})$
<b>jik</b>	$N^3(1 + \frac{3}{\delta}) - N^2(1 - \frac{1}{\delta})$
<b>jki</b>	$\frac{2N^3}{\delta} - N^2(1 - \frac{1}{\delta})$

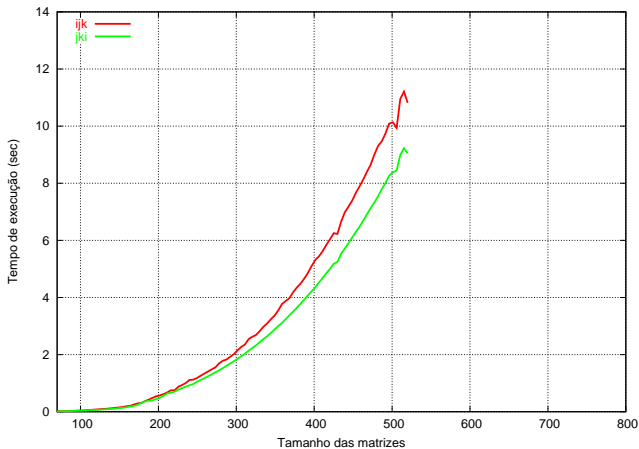
Entre a versão *ijk* e a versão melhor *jki*, a razão de *misses* é igual a

$$\frac{N^3(2 + \frac{3}{\delta})}{\frac{2N^3}{\delta} - N^2(1 - \frac{1}{\delta})} \underset{N \rightarrow \infty}{=} \delta.$$

Ele está enrolando com um modelo fora da real e fórmulas teóricas...

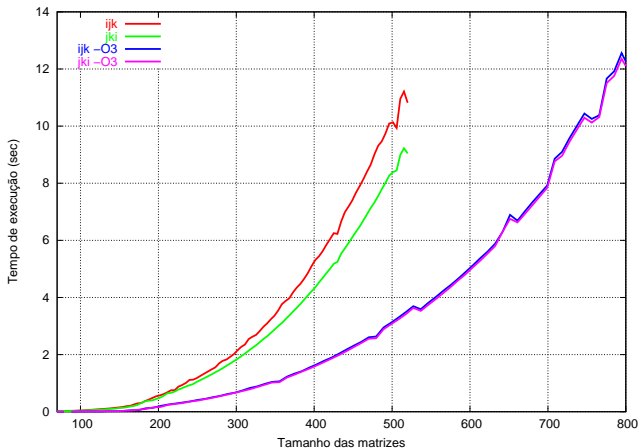
# Algumas medições: ijk vs. jki (1)

Pentium III 733 Mhz, 800 Mhz, Cache 256Kb



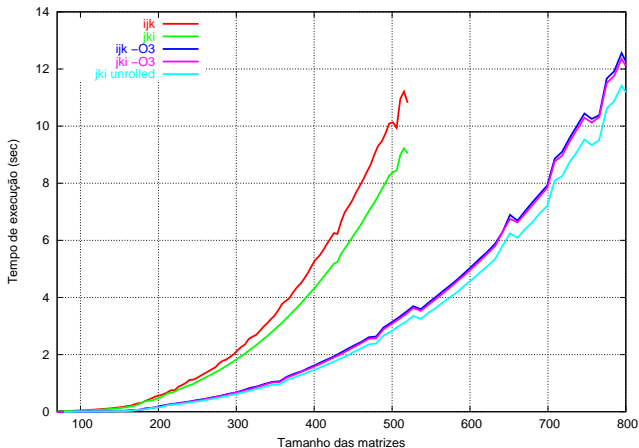
# Bendito compilador!

gcc -O3 -funroll-all-loops



# Além do compilador: desenrolar dos laços

O laço interno está desenrolado 8 vezes





# Plano da seção

# Decomposição da matriz em blocos

$A_{11}$	$A_{12}$	$A_{13}$	$A_{14}$	$A_{15}$	$A_{16}$	$A_{17}$	$A_{18}$
$A_{21}$	$A_{22}$	$A_{23}$	$A_{24}$	$A_{25}$	$A_{26}$	$A_{27}$	$A_{28}$
$A_{31}$	$A_{32}$	$A_{33}$	$A_{34}$	$A_{35}$	$A_{36}$	$A_{37}$	$A_{38}$
$A_{41}$	$A_{42}$	$A_{43}$	$A_{44}$	$A_{45}$	$A_{46}$	$A_{47}$	$A_{48}$
$A_{51}$	$A_{52}$	$A_{53}$	$A_{54}$	$A_{55}$	$A_{56}$	$A_{57}$	$A_{58}$
$A_{61}$	$A_{62}$	$A_{63}$	$A_{64}$	$A_{65}$	$A_{66}$	$A_{67}$	$A_{68}$
$A_{71}$	$A_{72}$	$A_{73}$	$A_{74}$	$A_{75}$	$A_{76}$	$A_{77}$	$A_{78}$
$A_{81}$	$A_{82}$	$A_{83}$	$A_{84}$	$A_{85}$	$A_{86}$	$A_{87}$	$A_{88}$

- Considera-se a matriz como uma “matriz de matrizes” (ou **blocos**);
- o tamanho  $b$  do bloco é tal que caibam na memória lenta “alguns” (e.g. 3) blocos.

# Motivação da formulação em blocos

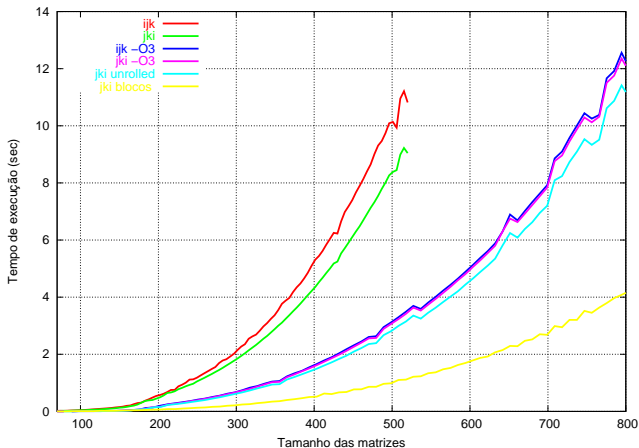
- Acessos na memória por linha/coluna =  $\mathcal{O}(N^3)$  acessos à memória lenta;
- Usando blocos de tamanho  $b$ :
  - o cálculo do bloco  $C_{ij}^{(k)} = A_{ik} \times B_{kj} \Rightarrow 2b^2$  acessos à memória distante;
  - precisa-se de  $N/b$  tais blocos para calcular a soma  $C_{ij}$  (que pode ser acumulada) na memória rápida;
  - assim, precisa-se de  $\frac{N}{b} \times 2b^2 = 2Nb$  acessos à memória lenta para ter um dos  $(N/b)^2$  blocos da matriz  $C$ .
  - Em soma, serão  $2Nb \times \frac{N^2}{b^2} = \frac{2N^3}{b}$  acessos a serem realizados por essa versão em blocos.
- Em relação à versão sem blocos, ganha-se um fator  $b$  em número de acessos à memória.

## O código em C

```
#define BLOCK 64
inline void jki_blocos(int n, double* C, double* A, double* B) {
    int i, j, k, I, J, K;
    double Bkj;
    for (J=0 ; J<n ; J+=BLOCK) {
        for (K=0 ; K<n ; K+=BLOCK) {
            for (I=0 ; I<n ; I+=BLOCK) {
                for (j=J ; j<J+BLOCK-1 && j<n ; j++) {
                    for (k=K ; k<K+BLOCK-1 && k<n ; k++) {
                        Bkj = B[j*n+k] ;
                        for (i=I ; i<I+BLOCK-1 && i<n ; i++)
                            C[j*n+i] += A[k*n+i]*Bkj ;
                    }
                }
            }
        }
    }
}
```

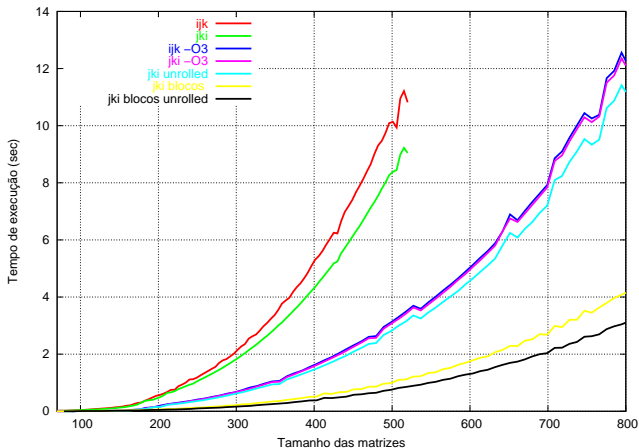
# Desempenho da versão em blocos

Tamanho do bloco: 64 *doubles*



# Versão em blocos com desenrolar dos laços

8 iterações são desenroladas



# Conclusão: produto matricial

- Foram apresentados vários níveis de otimização:
  - Ordem dos laços (vide compilador!);
  - Desenrolo dos laços;
  - formulação em blocos.
- A versão em blocos apareceu teoricamente e experimentalmente muito melhor.
  - Teoricamente: ganha-se um fator  $\delta$ .
  - Experimentalmente: ganha-se um fator 4.

# Plano da seção



# Álgebra linear e aproximação de primeira ordem

- As equações usadas em física para modelar a realidade se baseiam, em geral, em funções não lineares:
  - uso de **potenciais** não lineares (e.g. potencial de Coulomb).
- No entanto, os fenômenos não lineares são difíceis a analisar (caóticos), inclusive numericamente.
- A simplificação mais óbvia é a linearização das equações:
  - a fórmula de Taylor mostra que, quando o operador é relativamente regular, a simplificação é uma boa aproximação;
  - obtém-se desta forma uma equação tratável.
- A discretização dessa simplificação leva a matrizes e vetores.

# De onde vêm os sistemas?

- 1 as leis da física em geral são do tipo  $F(x) = B$  (e.g.  $B = 0$ ).
- 2 O espaço onde atuam os operadores é truncado (**dimensão finita**  $N$ ).
- 3 O vetor  $x$  se define através de suas componentes na base  $x_1, \dots, x_N$ .
- 4 Os operadores se descrevem através de matrizes  $N \times N$ .

## Sistema de equações lineares

$$\begin{cases} a_{1,1}x_1 + a_{1,2}x_2 + \dots + a_{1,N}x_N & = b_1 \\ a_{2,1}x_1 + a_{2,2}x_2 + \dots + a_{2,N}x_N & = b_2 \\ & \vdots \\ a_{N,1}x_1 + a_{N,2}x_2 + \dots + a_{N,N}x_N & = b_N. \end{cases}$$

Usando uma notação matricial, escreve-se  $Ax = b$ .

# Plano da seção

# Uma etapa da eliminação de Gauss

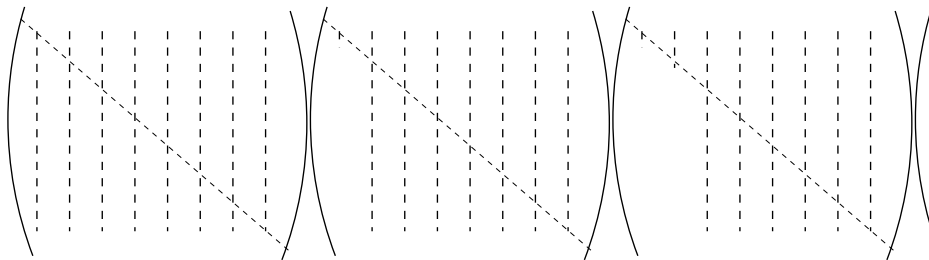
$$\times \frac{1}{a_{1,1}} \quad L_2 \leftarrow L_2 - \frac{a_{21}}{a_{11}} \times L_1$$

$$\begin{cases} a_{1,1}x_1 + a_{1,2}x_2 + \dots + a_{1,N}x_N = b_1 \\ a_{2,1}x_1 + a_{2,2}x_2 + \dots + a_{2,N}x_N = b_2 \\ \vdots \\ a_{N,1}x_1 + a_{N,2}x_2 + \dots + a_{N,N}x_N = b_N. \end{cases}$$

$$\begin{cases} x_1 + \frac{a_{1,2}}{a_{1,1}}x_2 + \dots + \frac{a_{1,N}}{a_{1,1}}x_N = \frac{b_1}{a_{1,1}} \\ \frac{a_{2,1}}{a_{1,1}}x_1 + \frac{a_{2,2}}{a_{1,1}}x_2 + \dots + \frac{a_{2,N}}{a_{1,1}}x_N = \frac{b_2}{a_{1,1}} \\ \vdots \\ \frac{a_{N,1}}{a_{1,1}}x_1 + \frac{a_{N,2}}{a_{1,1}}x_2 + \dots + \frac{a_{N,N}}{a_{1,1}}x_N = \frac{b_N}{a_{1,1}}. \end{cases}$$

$$\begin{cases} x_1 + \frac{a_{1,2}}{a_{1,1}}x_2 + \dots + \frac{a_{1,N}}{a_{1,1}}x_N = \frac{b_1}{a_{1,1}} \\ \left(\frac{a_{2,2}}{a_{1,1}} - \frac{a_{21}}{a_{1,1}}\right)x_2 + \dots + \left(\frac{a_{2,N}}{a_{1,1}} - \frac{a_{21}}{a_{1,1}}\right)x_N = \left(\frac{b_2}{a_{1,1}} - \frac{a_{21}}{a_{1,1}}\right)b_1 \\ \vdots \\ \vdots \end{cases}$$

# Etapas seguintes



- Pode-se repetir este procedimento para zerar os elementos das outras colunas da nova matriz.
- Obtém-se desta forma, após  $N - 1$  etapas, um sistema na forma:

$$\left\{ \begin{array}{l} a_{1,1}^{(N-1)} x_1 + a_{1,2}^{(N-1)} x_2 + \dots + a_{1,N}^{(N-1)} x_N = b_1^{(N-1)} \\ \qquad a_{2,2}^{(N-1)} x_2 + \dots + a_{2,N}^{(N-1)} x_N = b_2^{(N-1)} \\ \qquad \qquad \qquad \qquad \qquad \qquad \qquad \vdots = \vdots \\ \qquad \qquad \qquad \qquad \qquad \qquad \qquad a_{N,N}^{(N-1)} x_N = b_N^{(N-1)}. \end{array} \right.$$

# Pivoteamento de Gauss e fatoraçaõ LU

- Este algoritmo se chama **pivoteamento de Gauss**. O pivô é o elemento da diagonal que serve para dividir as linhas.
- A matriz triangular é chamada  $U$ . Sua diagonal inclui os pivôs. As operações de eliminação se reduzem numa matriz  $L$ , também triangular.
- Se um pivô vale zero, é preciso permutar as linhas (ou as colunas) da matriz até achar um pivô não zero. A permutação pode se efetuar através do produto por uma matriz  $P$ .
- Afinal,

## Fatoraçaõ LU

o pivoteamento de Gauss leva à fatoraçaõ da matriz  $A$  sob a forma  $A = P \times L \times U$ .

# Complexidade do pivoteamento de Gauss

- **Complexidade:** para cada uma das  $j = 2, \dots, N - 1$  colunas zerada, deve-se atualizar  $(N - j)^2$  coeficientes através de produtos e divisões. O número exato de operações é

$$\frac{2N^3}{3} + \frac{N^2}{2} + \mathcal{O}(N)$$

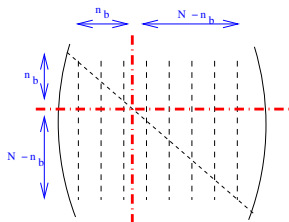
- Observação: é também a ordem de magnitude da complexidade do produto matricial!

# Plano da seção



# Porque re-formular a fatoração $LU$ em blocos?

- conforme foi apresentado, uma implementação baseada em blocos é mais eficiente;
- via de régra, é fácil alterar algoritmos tais como o pivoteamento de Gauss para usar blocos;



- Seja  $n_b$  um número que divide  $n$ .  
Nota-se

$$PA = \begin{pmatrix} L_{11} & & \\ L_{21} & I & \\ L_{31} & 0 & I \end{pmatrix} \times \begin{pmatrix} U_{11} & U_{12} & U_{13} \\ & A'_{22} & A'_{23} \\ & A'_{32} & A'_{33} \end{pmatrix}$$

- $L$ ,  $U$  e  $A'$  são blocos das matrizes

- Após mais uma etapa da fatoração, deve-se obter:

$$\begin{pmatrix} I & & \\ & P_2 & \end{pmatrix} PA = \begin{pmatrix} L_{11} & & \\ L_{21} & L_{22} & \\ L_{31} & L_{32} & I \end{pmatrix} \times \begin{pmatrix} U_{11} & U_{12} & U_{13} \\ & U_{22} & U_{23} \\ & & A'_{33} \end{pmatrix}.$$

- As sub-matrizes  $\begin{pmatrix} L_{22} & \\ L_{32} & I \end{pmatrix}$  e  $\begin{pmatrix} L_{22} & U_{23} \\ & A'_{33} \end{pmatrix}$  correspondem à fatoração  $LU$  do bloco  $\begin{pmatrix} A'_{22} & A'_{23} \\ A'_{32} & A'_{33} \end{pmatrix}$

# Etapas da fatoração em blocos

- 1 Fatoração  $LU$  do bloco  $P_2 \begin{pmatrix} A'_{22} \\ A'_{32} \end{pmatrix} = \begin{pmatrix} L_{22} \\ L_{32} \end{pmatrix} U_{22}$ .
- 2 Permutação das linhas (multiplicação por  $P_2$ );
- 3 Cálculo do bloco pivô  $U_{23} \leftarrow L_{22}^{-1} A'_{23}$ ;
- 4 Atualização do bloco  $A'_{33}$ :

$$A'_{33} \leftarrow A'_{33} - L_{32} U_{23}$$

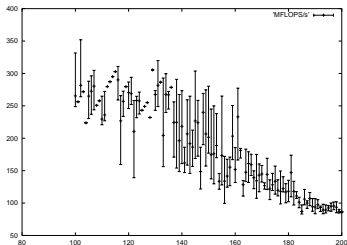
# Plano da seção

# Basic Linear Algebra Subroutine

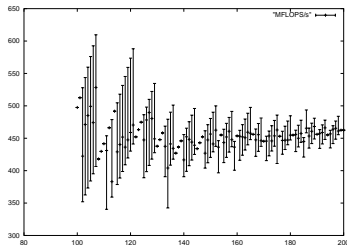
- 3 níveis de BLAS
  - BLAS-1: todas as operações tipo “vetor-vetor” (produto escalar, soma de vetores, multiplicação de um vetor por um escalar, etc.);
  - BLAS-2: operações que implicam uma matriz e um vetor (e.g. produto matriz-vetor). Complexidade  $O(N^2)$ ;
  - BLAS-3: operações entre matrizes (e.g. produto de duas matrizes).  $O(N^3)$ .
- Existe várias implementações:
  - dos fabricantes (cf. compiladores) com otimizações em nível de linguagem de máquina.
  - código livre, em Fortran-77 (netlib).
- Impacto no desempenho!

# Desempenho das BLAS

- Experimentos com um Pentium III 733 MHz.
- Desempenho máximo esperado: 733 MFlops/s (1 op. vírgula flutuante / ciclo de relógio).



pgcc



```
-O2 -tp p6 -Minfo -Munroll=n:16 -mp
```

```
-Mvect=assoc,cachesize:262144 -MI3f
```

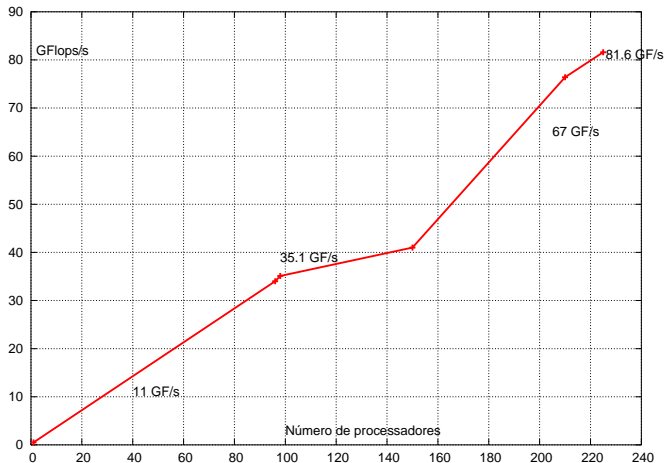
- A **biblioteca Linpack** foi desenvolvida nos anos 70 para resolver sistemas de equações lineares, para vários tipos de matrizes.
- Foi integrada com a biblioteca Eispack, passando a se chamar **LAPACK** (Linear Algebra Package) no fim dos anos 80.
  - Inclui mais algoritmos, tais como o cálculo de auto-vetores.
- LAPACK foi projetado em cima das BLAS para garantir a eficiência, **com algoritmos em blocos**.
  - as operações em nível de bloco implementadas nas BLAS.
- Para máquinas com memória distribuída, existe *ScaLAPACK*.
  - em cima de uma versão paralela das BLAS (P-BLAS),
  - com uma camada específica de comunicações dedicadas ao cálculo matricial (BLACS).

# ○ benchmark Linpack

- surgiu a partir da biblioteca Linpack;
- Linpack-100 em 1979, com classificação de até 23 processadores;
- Linpack-1000 durante os anos 80;
- Highly-Parallel Linpack (HPL): usado como referência na comparação dos supercomputadores, através do TOP500, desde 1993.
- Testa a **escalabilidade** de uma máquina paralela e seu desempenho bruto.
  - O único critério imposto pelo *benchmark* é o algoritmo de fatoração LU com complexidade  $\frac{2N^3}{3} + 2N^2$ .
  - Pode-se alterar todos os outros parâmetros do teste: tamanho da matriz, algoritmos de comunicações globais, topologia de rede, etc.



# Escalabilidade do linpack num agregado



agregado é do INRIA, formado por 225 processadores PIII, rede



# Plano da seção

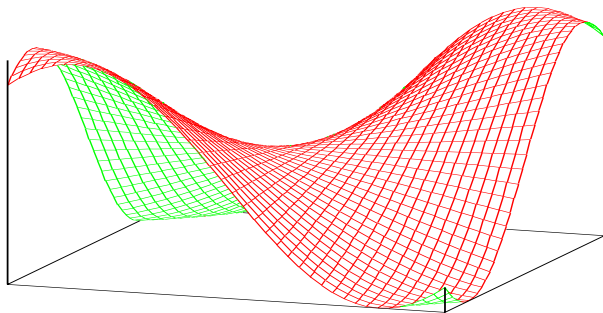
# Métodos diretos e iterativos

- **Métodos diretos**: implicam na fatoração da matriz. O algoritmo se aplica diretamente à estrutura da matriz.
  - Vantagens: a fatoração pode servir a resolver mais de um sistema; a complexidade é determinista.
  - Inconvenientes: precisa-se de armazenar todos os coeficientes da matriz; tais algoritmos “enchem” a matriz durante a fatoração.
- **Métodos iterativos**: usam a matriz apenas como operador que age com vetores, para construir uma sequência de vetores cujo limite é a solução do sistema.
  - Vantagens: nem precisa da matriz; pode-se usar tipos de armazenamento específicos para matrizes esparsas.
  - Inconvenientes: convergência dependente do vetor inicial; garantia unicamente para dados tipos de matrizes.

# O algoritmo do Gradiente Conjugado

- O Gradiente Conjugado (GC) é um dos algoritmos diretos mais antigos usados para resolver um sistema  $Ax = b$ : ele existe há 50 anos.
- o GC cria **iterativamente** uma sequência de vetores  $x^{(i)}$  cujo limite é  $x$  quando converge.
- É um método de “gradiente”, no sentido físico que, a cada iteração, calcula um vetor que dá a direção que minimiza a energia do operador  $J(y) = \frac{1}{2}y^T Ay - b^T y + c$ .
- A norma do vetor também é calculada de forma tal que permita “descer” nesta direção até o ponto de energia mínima ao longo dela.

# Ilustração do GC



# Expressão matemática do GC

- Quer-se minimizar  $\mathcal{E}(x) = \frac{1}{2}y^T Ay - b^T y + c$ .
- A direção de **maior descida** é dada por  $-\mathcal{E}'(x) = b - Ax$ .  
Nota-se  $r = b - Ax$ .
- Seguindo esta direção, chega-se até o ponto  $x_1 = x + \alpha r$ .
- Qual valor  $\alpha$  é tal que se “ultrapassa” o ponto crítico?
- É  $\alpha$  tal que  $\frac{\partial}{\partial \alpha} \mathcal{E}(x_1) = 0$ .
  - *i.e.*  $\mathcal{E}'^T(x_1) \frac{\partial}{\partial \alpha}(x_1) = 0$ ,
  - *i.e.*  $(b - Ax_1)^T r = 0$ ,
  - *i.e.*  $(b - A(x + \alpha r))^T r = 0$ ,
  - *i.e.*  $\alpha = \frac{r^T r}{r^T A r}$ .
- No caso do GC, as direções de descida são  $A$ -ortogonais!
  - altera um pouco a definição da direção. . .

# Algoritmo do Gradiente Conjugado

## O algoritmo

- 1:  $i \leftarrow 0$
- 2:  $d^{(i)} \leftarrow b - Ax^{(i)}$
- 3:  $r^{(i)} \leftarrow b - Ax^{(i)}$
- 4: **while**  $r^{(i)T} r^{(i)} > \epsilon$  **do**
- 5:    $\alpha \leftarrow \frac{r^{(i)T} r^{(i)}}{d^{(i)T} Ad^{(i)}}$
- 6:    $x^{(i+1)} \leftarrow x^{(i)} + \alpha d^{(i)}$
- 7:    $r^{(i+1)} \leftarrow r^{(i)} - \alpha Ad^{(i)}$
- 8:    $\beta \leftarrow \frac{r^{(i+1)T} r^{(i+1)}}{r^{(i)T} r^{(i)}}$
- 9:    $d^{(i+1)} \leftarrow r^{(i+1)} + \beta d^{(i)}$
- 10:    $i \leftarrow i + 1$
- 11: **end while**

# Interesse do Gradiente Conjugado

O GC é especialmente bem projetado para o PAD. De fato, ele precisa efetuar a cada iteração:

- 3 cópias/somas de vetores. É uma operação tipo BLAS-1;
- 2 produtos escalares ( $r^{(i)T} r^{(i)}$  e  $d^{(i)T} Ad^{(i)}$ ). São operações tipo BLAS-1;
- 1 produto matriz-vetor ( $Ad^{(i)}$ ), que é uma operação BLAS-2.
- Basta armazenar, de uma iteração para a seguinte, apenas os valores dos vetores  $x^{(i)}$ ,  $r^{(i)}$  e  $d^{(i)}$ .

Além de serem implementadas eficientemente pelas BLAS, essas operações são fáceis de paralelizar!



# Conclusão: resolução de sistemas de equações

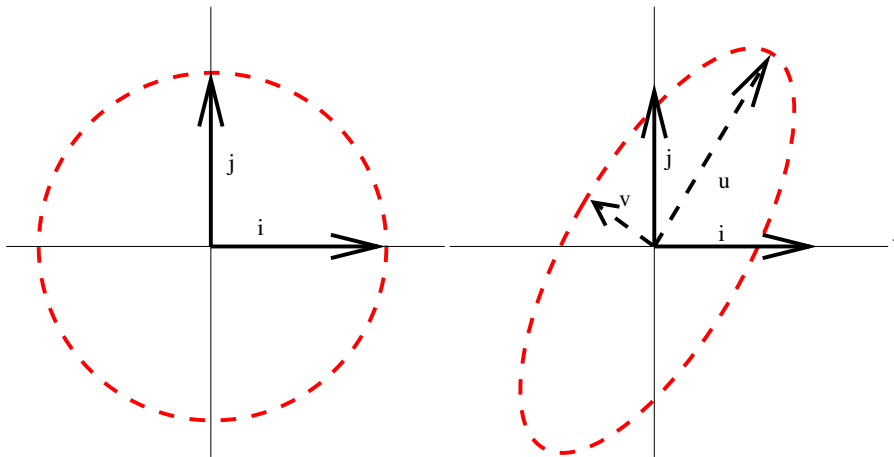
- Trata-se de uma operação fundamental para todo o cálculo numérico!
- Existe várias implementações padrões em bibliotecas: LAPACK para computadores seqüenciais, scaLapack para máquinas paralelas, o *benchmark* Linpack, . . .
- as implementações de alto-desempenho usam versões em blocos.

# Plano da seção

# Definição

- Um outro problema de alta relevância é o cálculo de **auto-valores** e vetores de uma matriz  $A$ .
- *auto-valores* e *auto-vetores* são escalares  $\lambda_i, i = 1 \dots, n$  e vetores  $v_i, i = 1, \dots, n$  tais que  $Av_i = \lambda_i v_i$ .
- Fisicamente:
  - os auto-vetores representam as **direções** no espaço vetorial nas quais  $A$  mais age;
  - o auto-valor associado a um auto-vetor representa a **intensidade** da ação de  $A$  nessa direção.

# Representação geométrica em 2 dimensões



Duas noções “concretas” com auto-valores:

- 1 auto-valor = **valor mínimo**.
  - $\lambda_i = (v_i, Av_i)$  quando  $v_i$  tem norma 1.
  - $\lambda_i$  é o mínimo possível de  $(x, Ax)$  quando  $A$  é simétrica.

Vide problemas de minimização (de energia).

- 2 *auto-valor* = estado estacionário = **estabilidade**.
  - vide a seqüência  $u_n = a.u_{n-1}$ ;
  - bastante usado com cadéias de Markov.

Vide o teorema do ponto fixo.

# Plano da seção

# Algoritmo da potência

idéia simples:

- Efetuar a fatoração  $LU$ .
- iterar a ação do operador sobre um vetor inicial aleatório  $u_0$ ;
- Cada iteração vai “torcer” o espaço na direção do auto-vetor, até chegar a um espaço reduzido a uma reta = a direção do auto-vetor  $v_i$  procurado;
- Para obter  $\lambda_i$ , basta calcular  $(v_i, Av_i)$ ;
- isso significa calcular  $A^k u_0$  à iteração  $k$ ;
- este algoritmo se chama “**algoritmo da potência**”.
- serve para calcular o auto-valor de maior módulo.

## Espaço de Krylov

É o espaço vetorial definido pelas iterações de uma matriz  $A$  a partir de um vetor

$$u_0: \mathcal{K}_{u_0}(A) = \mathcal{V}(u_0, Au_0, A^2u_0, \dots, A^m u_0).$$

- Busca de uma solução num espaço **menor** e **representativo** da solução;
- o espaço dos iterados parece bom (espaço de Krylov);
- basta calcular a cada iteração  $k$  a projeção da matriz  $A$  neste espaço vetorial e seus auto-valores.



## Algoritmo de Lanczos

- 1:  $\beta_1 \leftarrow 1, q_0 \leftarrow u_0.$
- 2: **Iterações**
- 3: **for**  $j = 1, 2, \dots, m$  **do**
- 4:    $r_j \leftarrow Aq_j - \beta_j q_{j-1}$
- 5:    $\alpha_j \leftarrow r_j^* q_j$
- 6:    $r_j \leftarrow r_j - \alpha_j q_j$
- 7:    $\beta_{j+1} \leftarrow \|r_j\|_2$
- 8:    $q_{j+1} \leftarrow r_j / \beta_{j+1}$
- 9: **end for**
- 10: Retornar  $Q^T \times A \times Q$  { $Q$  é a matriz formada pelos  $q_j$ .}

# Algoritmo de Lanczos com Restart

- A aplicação do algoritmo de Lanczos fornece uma aproximação do auto-vetor  $v_j$  procurado.
- Pode-se repetir a construção iterativa do espaço  $\mathcal{K}_{v_j}(A)$  a partir deste auto-vetor para obter uma melhor aproximação!
- Essa versão, chamada **com restart** permite limitar o tamanho  $m$  do espaço de Krylov, e, logo, a memória usada.
  - Por iteração, deve se armazenar  $m$  vetores  $q_j$  que formam a base de  $\mathcal{K}_{v_j}(A)$ !
- Trata-se de um algoritmo iterativo que usa apenas produtos escalares e produtos matriz-vetor.

# A biblioteca ARPACK

- Este algoritmo foi implementado na biblioteca **ARPACK** (ARnoldi PACKage).
- Existe uma versão distribuída chamada P-ARPACK, baseada no MPI.
- Serve para resolver problemas com até dezenas de milhões de variáveis.
- Usa um mecanismo de *template*: o usuário deve apenas fornecer o produto matriz-vetor distribuído.
  - O cálculo da norma para o controle da convergência já vem paralelizado.
  - O resto das operações é duplicado em todos os processadores.

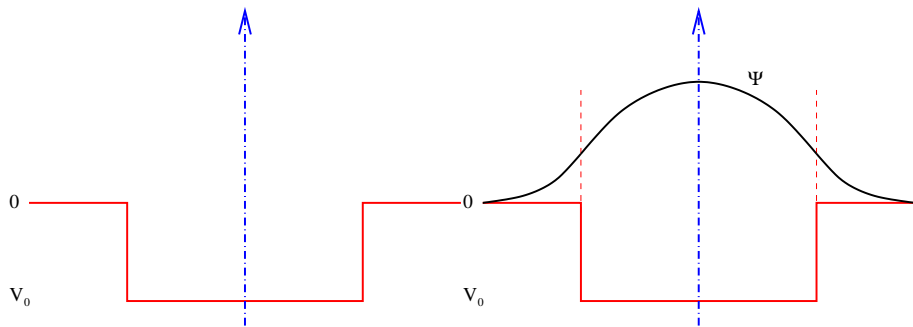
# Plano da seção

# Mecânica quântica e equação de Schroedinger

- Modelagem do comportamento de conjuntos de partículas na escala atômica.
- **Não determinista** mas **probabilístico**
  - um eletro não é uma bolinha sólida. . .
- Cada sistema é descrito através de uma **função de onda**  $\Psi(x, y, z, t)$  que dá a probabilidade de presença do sistema num ponto do espaço-tempo.
- As ações sobre o sistema (potenciais, energia. . .) se modelam através de operadores que transformam a função de onda. Por exemplo:

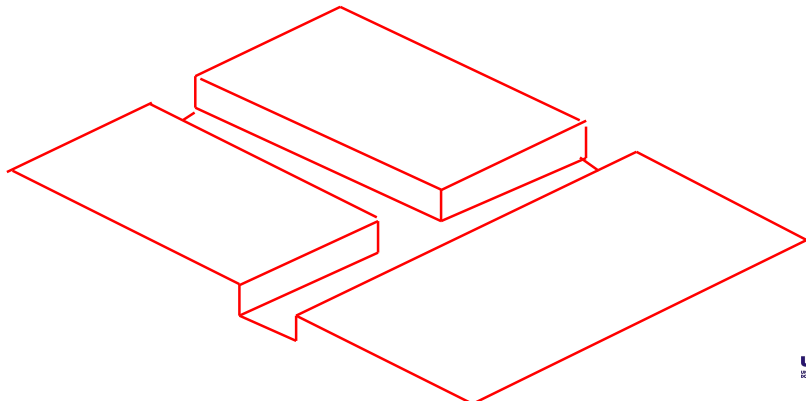
$$-\frac{\hbar^2}{2m} \frac{\partial^2}{\partial x^2} \Psi(x, y, z) + V(x, y, z) \Psi(x, y, z).$$

# O problema do poço de potencial

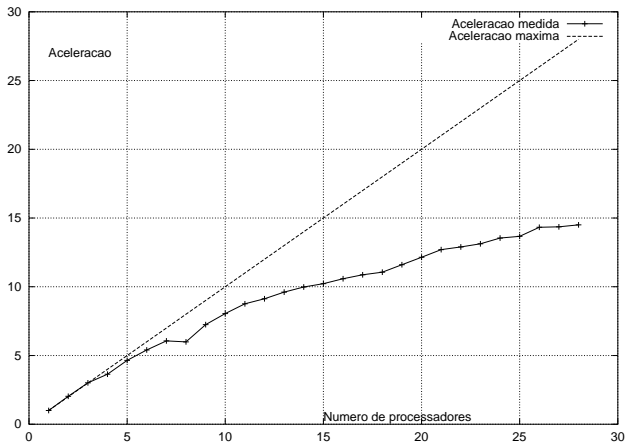


- Um exemplo 1D.
- Potencial  $V(x)$  constante com 2 valores.

# Exemplo: o potencial em T



# Resolução com o P-ARPACK



As execuções foram feitas num Cray-T3D em 1999, e no cluster do INRIA em 2001.



# Conclusão sobre o cálculo de auto-valores

- Auto-valores e auto-vetores são fundamentais para muitos modelos numéricos.
- Exemplos de aplicações: mecânica quântica, cadeias de Markov, . . .
- Existe uma gama de algoritmos diretos e iterativos eficientes e altamente paralelos.
- Os mesmos se encontram em bibliotecas tais como a ARPACK.

- Foram apresentados alguns algoritmos para o cálculo matricial:
  - o produto matricial;
  - a resolução de sistemas de equações lineares;
  - o cálculo de auto-valores e auto-vetores.
- Técnicas foram apresentadas para melhorar o desempenho: re-ordenação dos laços; **formulação em blocos**.
- Exemplos de aplicações foram apresentados.

- De nada adianta programar uma máquina distribuída sem buscar o melhor desempenho sequencial antes.
- Por isso é importante ter um bom entendimento do algoritmo.
- Não é a coisa mais importante em PAD — é apenas mais um elemento a dominar, ao lado da arquitetura, da programação, da avaliação de desempenho, etc. . .
- Trabalhar com aplicações é complicado, o diálogo com usuários também — a modelagem matemática pode servir como ponte.

# Processamento de Alto Desempenho e paralelismo

- Falou-se relativamente pouco de paralelismo!
- A noção chave é a **granularidade** (e.g. tamanho dos blocos);
- isso vale quanto na programação seqüencial como na programação distribuída;
- Conclusão: um bom algoritmo seqüencial é um bom algoritmo paralelo, e reciprocamente.
- **“Pensar paralelo faz bem para a programação”**

# E a pesquisa nisso todo?

- a pesquisa em nível dos algoritmos é fundamental... e complexa;
- ela usa ferramentas matemáticas complicadas, além de programação técnica;
- já tem muita coisa feita (vide as bibliotecas que foram apresentadas!).
- Temos já soluções genéricas (e.g. a formulação em blocos) quase otimizadas. O **desafio** é na disponibilização de ambientes de programação (paralela) que permitem o uso simples de tais algoritmos e a obtenção de **alto-desempenho, independente da máquina**:
  - como descrever o paralelismo do algoritmo?
  - como mapear esta descrição (o programa) em qualquer tipo de máquina? (Escalonamento)

# E o Grid?

- Atualmente a moda é no Grid. . .
- Nas plataformas existentes, apenas programas trivialmente paralelos são executados;
- os algoritmos apresentados **não são trivialmente paralelos** (vide as dependências) mas iterativos. No entanto, eles são fundamentais (vide TOP500!).
- Desafio (2): como executar tais programas em Grids?

## Referências bibliográficas:



BARRETT, R. et al.

*Templates for the solution of linear systems: building blocks for iterative methods*, 2nd edition.  
Philadelphia, PA: SIAM, 1994.



Netlib repository.

<http://www.netlib.org> (dez. 2004).



PRESS WILLIAM H., et. al.

*Numerical recipes in C: the art of scientific computing*.  
Cambridge University Press, 1992.



DONGARRA, J. et al. (Eds.).

*Templates and numerical linear algebra*.  
Morgan Kaufmann, 2000. p.575–620.

# That's all, folks!

Et voilà !...

Perguntas?

<http://www.inf.ufrgs.br/~nmaillard/ERAD2005/>